

Starkniederschlagshöhen und -spenden gemäß KOSTRA-DWD-2020

Rasterfeld 154169

(Zeile 154, Spalte 169)

Regenspende und Bemessungsniederschlagswerte in Abhängigkeit von Wiederkehrzeit T und Dauerstufe D

| Dauerstufe D | | Wiederkehrzeit T | | | | | | | | | | | | | | | | | |
|--------------|-----|------------------|------------|------|------------|------|------------|------|------------|-------|------------|-------|------------|-------|------------|-------|------------|-------|------------|
| | | 1 a | | 2 a | | 3 a | | 5 a | | 10 a | | 20 a | | 30 a | | 50 a | | 100 a | |
| min | Std | mm | l / (s ha) | mm | l / (s ha) | mm | l / (s ha) | mm | l / (s ha) | mm | l / (s ha) | mm | l / (s ha) | mm | l / (s ha) | mm | l / (s ha) | mm | l / (s ha) |
| 5 | | 6,7 | 223,3 | 8,3 | 276,7 | 9,2 | 306,7 | 10,5 | 350,0 | 12,4 | 413,3 | 14,3 | 476,7 | 15,6 | 520,0 | 17,2 | 573,3 | 19,5 | 650,0 |
| 10 | | 9,0 | 150,0 | 11,1 | 185,0 | 12,4 | 206,7 | 14,2 | 236,7 | 16,6 | 276,7 | 19,2 | 320,0 | 20,9 | 348,3 | 23,1 | 385,0 | 26,2 | 436,7 |
| 15 | | 10,4 | 115,6 | 12,9 | 143,3 | 14,4 | 160,0 | 16,4 | 182,2 | 19,3 | 214,4 | 22,2 | 246,7 | 24,2 | 268,9 | 26,7 | 296,7 | 30,4 | 337,8 |
| 20 | | 11,4 | 95,0 | 14,2 | 118,3 | 15,8 | 131,7 | 18,0 | 150,0 | 21,2 | 176,7 | 24,5 | 204,2 | 26,6 | 221,7 | 29,4 | 245,0 | 33,4 | 278,3 |
| 30 | | 13,0 | 72,2 | 16,1 | 89,4 | 18,0 | 100,0 | 20,5 | 113,9 | 24,1 | 133,9 | 27,8 | 154,4 | 30,2 | 167,8 | 33,4 | 185,6 | 37,9 | 210,6 |
| 45 | | 14,6 | 54,1 | 18,1 | 67,0 | 20,2 | 74,8 | 23,0 | 85,2 | 27,1 | 100,4 | 31,2 | 115,6 | 34,0 | 125,9 | 37,6 | 139,3 | 42,7 | 158,1 |
| 60 | 1 | 15,8 | 43,9 | 19,6 | 54,4 | 21,9 | 60,8 | 24,9 | 69,2 | 29,3 | 81,4 | 33,9 | 94,2 | 36,8 | 102,2 | 40,7 | 113,1 | 46,3 | 128,6 |
| 90 | 1,5 | 17,7 | 32,8 | 21,9 | 40,6 | 24,5 | 45,4 | 27,9 | 51,7 | 32,8 | 60,7 | 37,8 | 70,0 | 41,1 | 76,1 | 45,4 | 84,1 | 51,7 | 95,7 |
| 120 | 2 | 19,1 | 26,5 | 23,6 | 32,8 | 26,4 | 36,7 | 30,1 | 41,8 | 35,3 | 49,0 | 40,8 | 56,7 | 44,4 | 61,7 | 49,0 | 68,1 | 55,7 | 77,4 |
| 180 | 3 | 21,2 | 19,6 | 26,2 | 24,3 | 29,3 | 27,1 | 33,4 | 30,9 | 39,3 | 36,4 | 45,4 | 42,0 | 49,3 | 45,6 | 54,5 | 50,5 | 62,0 | 57,4 |
| 240 | 4 | 22,8 | 15,8 | 28,3 | 19,7 | 31,6 | 21,9 | 36,0 | 25,0 | 42,3 | 29,4 | 48,8 | 33,9 | 53,1 | 36,9 | 58,7 | 40,8 | 66,7 | 46,3 |
| 360 | 6 | 25,3 | 11,7 | 31,3 | 14,5 | 35,0 | 16,2 | 39,9 | 18,5 | 46,9 | 21,7 | 54,2 | 25,1 | 58,9 | 27,3 | 65,1 | 30,1 | 74,0 | 34,3 |
| 540 | 9 | 28,1 | 8,7 | 34,7 | 10,7 | 38,8 | 12,0 | 44,2 | 13,6 | 52,0 | 16,0 | 60,0 | 18,5 | 65,3 | 20,2 | 72,2 | 22,3 | 82,0 | 25,3 |
| 720 | 12 | 30,2 | 7,0 | 37,3 | 8,6 | 41,8 | 9,7 | 47,6 | 11,0 | 55,9 | 12,9 | 64,6 | 15,0 | 70,2 | 16,3 | 77,6 | 18,0 | 88,2 | 20,4 |
| 1080 | 18 | 33,5 | 5,2 | 41,4 | 6,4 | 46,3 | 7,1 | 52,7 | 8,1 | 62,0 | 9,6 | 71,5 | 11,0 | 77,8 | 12,0 | 86,0 | 13,3 | 97,7 | 15,1 |
| 1440 | 24 | 36,0 | 4,2 | 44,5 | 5,2 | 49,7 | 5,8 | 56,6 | 6,6 | 66,6 | 7,7 | 76,9 | 8,9 | 83,6 | 9,7 | 92,4 | 10,7 | 105,1 | 12,2 |
| 2880 | 48 | 42,8 | 2,5 | 52,9 | 3,1 | 59,2 | 3,4 | 67,4 | 3,9 | 79,3 | 4,6 | 91,5 | 5,3 | 99,5 | 5,8 | 110,0 | 6,4 | 125,0 | 7,2 |
| 4320 | 72 | 47,4 | 1,8 | 58,6 | 2,3 | 65,5 | 2,5 | 74,6 | 2,9 | 87,7 | 3,4 | 101,3 | 3,9 | 110,1 | 4,2 | 121,7 | 4,7 | 138,4 | 5,3 |
| 5760 | 96 | 50,9 | 1,5 | 62,9 | 1,8 | 70,4 | 2,0 | 80,2 | 2,3 | 94,3 | 2,7 | 108,8 | 3,1 | 118,4 | 3,4 | 130,8 | 3,8 | 148,7 | 4,3 |
| 7200 | 120 | 53,8 | 1,2 | 66,6 | 1,5 | 74,4 | 1,7 | 84,8 | 2,0 | 99,7 | 2,3 | 115,1 | 2,7 | 125,2 | 2,9 | 138,4 | 3,2 | 157,3 | 3,6 |
| 8640 | 144 | 56,4 | 1,1 | 69,7 | 1,3 | 77,9 | 1,5 | 88,8 | 1,7 | 104,4 | 2,0 | 120,5 | 2,3 | 131,0 | 2,5 | 144,8 | 2,8 | 164,6 | 3,2 |
| 10080 | 168 | 58,6 | 1,0 | 72,4 | 1,2 | 81,0 | 1,3 | 92,2 | 1,5 | 108,5 | 1,8 | 125,2 | 2,1 | 136,2 | 2,3 | 150,5 | 2,5 | 171,1 | 2,8 |

Starkniederschlagshöhen und -spenden gemäß KOSTRA-DWD-2020

Rasterfeld 154169

(Zeile 154, Spalte 169)

Örtliche Unsicherheiten in Abhängigkeit von Wiederkehrzeit T und Dauerstufe D

| Dauerstufe D | | Wiederkehrzeit T | | | | | | | | |
|--------------|-----|------------------|-----|-----|-----|------|------|------|------|-------|
| | | 1 a | 2 a | 3 a | 5 a | 10 a | 20 a | 30 a | 50 a | 100 a |
| min | Std | ± % | ± % | ± % | ± % | ± % | ± % | ± % | ± % | ± % |
| 5 | | 11 | 11 | 11 | 12 | 12 | 13 | 13 | 14 | 14 |
| 10 | | 13 | 14 | 15 | 16 | 17 | 18 | 18 | 19 | 19 |
| 15 | | 15 | 17 | 18 | 18 | 20 | 20 | 21 | 21 | 22 |
| 20 | | 16 | 18 | 19 | 20 | 21 | 22 | 22 | 23 | 24 |
| 30 | | 18 | 20 | 21 | 22 | 23 | 24 | 24 | 25 | 25 |
| 45 | | 18 | 21 | 21 | 23 | 24 | 24 | 25 | 25 | 26 |
| 60 | 1 | 19 | 21 | 22 | 23 | 24 | 25 | 25 | 26 | 26 |
| 90 | 1,5 | 18 | 20 | 21 | 22 | 24 | 24 | 25 | 25 | 26 |
| 120 | 2 | 18 | 20 | 21 | 22 | 23 | 24 | 24 | 25 | 26 |
| 180 | 3 | 17 | 19 | 20 | 21 | 22 | 23 | 24 | 24 | 25 |
| 240 | 4 | 16 | 18 | 19 | 20 | 21 | 22 | 23 | 23 | 24 |
| 360 | 6 | 15 | 17 | 18 | 19 | 20 | 21 | 21 | 22 | 23 |
| 540 | 9 | 14 | 16 | 17 | 18 | 19 | 20 | 20 | 21 | 21 |
| 720 | 12 | 13 | 15 | 16 | 17 | 18 | 19 | 19 | 20 | 20 |
| 1080 | 18 | 12 | 14 | 15 | 16 | 17 | 18 | 18 | 19 | 19 |
| 1440 | 24 | 12 | 13 | 14 | 15 | 16 | 17 | 17 | 18 | 18 |
| 2880 | 48 | 11 | 12 | 13 | 14 | 14 | 15 | 16 | 16 | 17 |
| 4320 | 72 | 11 | 12 | 13 | 13 | 14 | 14 | 15 | 15 | 16 |
| 5760 | 96 | 12 | 12 | 12 | 13 | 14 | 14 | 14 | 15 | 15 |
| 7200 | 120 | 12 | 12 | 12 | 13 | 13 | 14 | 14 | 15 | 15 |
| 8640 | 144 | 12 | 12 | 13 | 13 | 13 | 14 | 14 | 14 | 15 |
| 10080 | 168 | 13 | 13 | 13 | 13 | 13 | 14 | 14 | 14 | 15 |

Parameter für abweichende T und D

Lokationsparameter ξ (Xi)

16,27352451

Skalenparameter α (Alpha)

5,34628161

Formparameter κ (Kappa)

-0,1

1. Koutsoyiannis-Parameter θ (Theta)

0,03561987

2. Koutsoyiannis-Parameter η (Eta)

0,74989572

Parameter für dauerstufenübergreifende Extremwertschätzung nach KOUTSOYIANNIS et al. 1998.

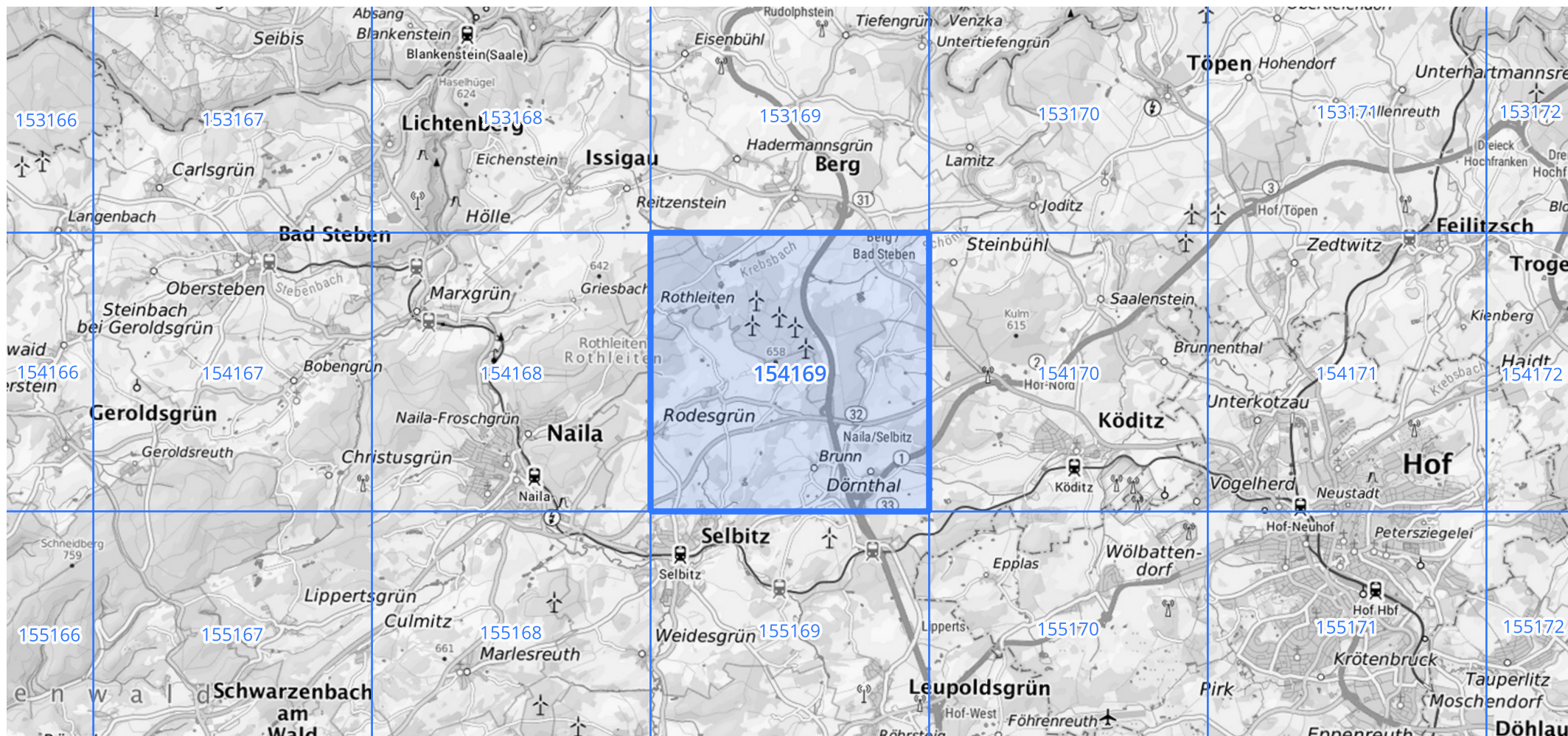
Siehe auch Anwendungshilfe zu KOSTRA-DWD-2020 des Deutschen Wetterdienstes.

Starkniederschlagshöhen und -spenden gemäß KOSTRA-DWD-2020

Rasterfeld 154169

(Zeile 154, Spalte 169)

Übersichtskarte des Rasterfeldes 154169, M 1 : 100 000



Quelle Rasterdaten: KOSTRA-DWD-2020 des Deutschen Wetterdienstes, Stand 12/2022.

Seite 3 von 3

Kartendarstellung: © Bundesamt für Kartographie und Geodäsie (2023), Datenquellen: https://sgx.geodatenzentrum.de/web_public/gdz/datenquellen/Datenquellen_TopPlusOpen.html

Für die Richtigkeit und Aktualität der Angaben wird keine Gewähr übernommen. Erstellt 01/2023.